

## Анализ содержания CO<sub>2</sub> и CH<sub>4</sub> в атмосфере с применением инфракрасной фурье-спектроскопии

**Голяк Игорь Семенович**

golyakis@bmstu.ru

МГТУ им. Н.Э. Баумана

**Винтайкин Иван Борисович**

Vintaikin\_IVan@mail.ru

МГТУ им. Н.Э. Баумана

**Фуфурин Игорь Леонидович**

igfil@mail.ru

МГТУ им. Н.Э. Баумана

**Морозов Андрей Николаевич**

amor@bmstu.ru

МГТУ им. Н.Э. Баумана

**Анфимов Дмитрий Романович**

anfimovdr@student.bmstu.ru

МГТУ им. Н.Э. Баумана

**Тимашова Лариса Николаевна**

timashova@bmstu.ru

МГТУ им. Н.Э. Баумана

**Голяк Илья Семенович**

iliyagol@mail.ru

МГТУ им. Н.Э. Баумана

**Светличный Сергей Иванович**

svetl.1950@gmail.com

Институт химической физики имени Н.Н. Семёнова РАН

Рассмотрена проблема мониторинга парниковых газов в приземном слое воздуха с использованием метода фурье-спектроскопии. Предложенный метод анализа предусматривает возможность работы как в режиме активном, так и в пассивном. На основе предложенного метода разработан фурье-спектрометр, работающий в ближнем инфракрасном диапазоне 1,0...1,7 мкм, на котором в пассивном режиме зарегистрированы спектральные линии CO<sub>2</sub>, CH<sub>4</sub> и опорные линии O<sub>2</sub>.

**Ключевые слова:** динамический фурье-спектрометр, парниковые газы, карбоновые полигоны, инфракрасный спектр, фурье-спектроскопия

Одной из самых обсуждаемых проблем в современном мире является глобальное потепление [1–4], которое связано наличием парниковых газов в атмосфере. К основным парниковым газам относят: диоксид углерода (CO<sub>2</sub>), метан (CH<sub>4</sub>), озон (O<sub>3</sub>) и водяной пар. Существенное влияние на глобальное потепление связывают с увеличением CO<sub>2</sub> в атмосфере.

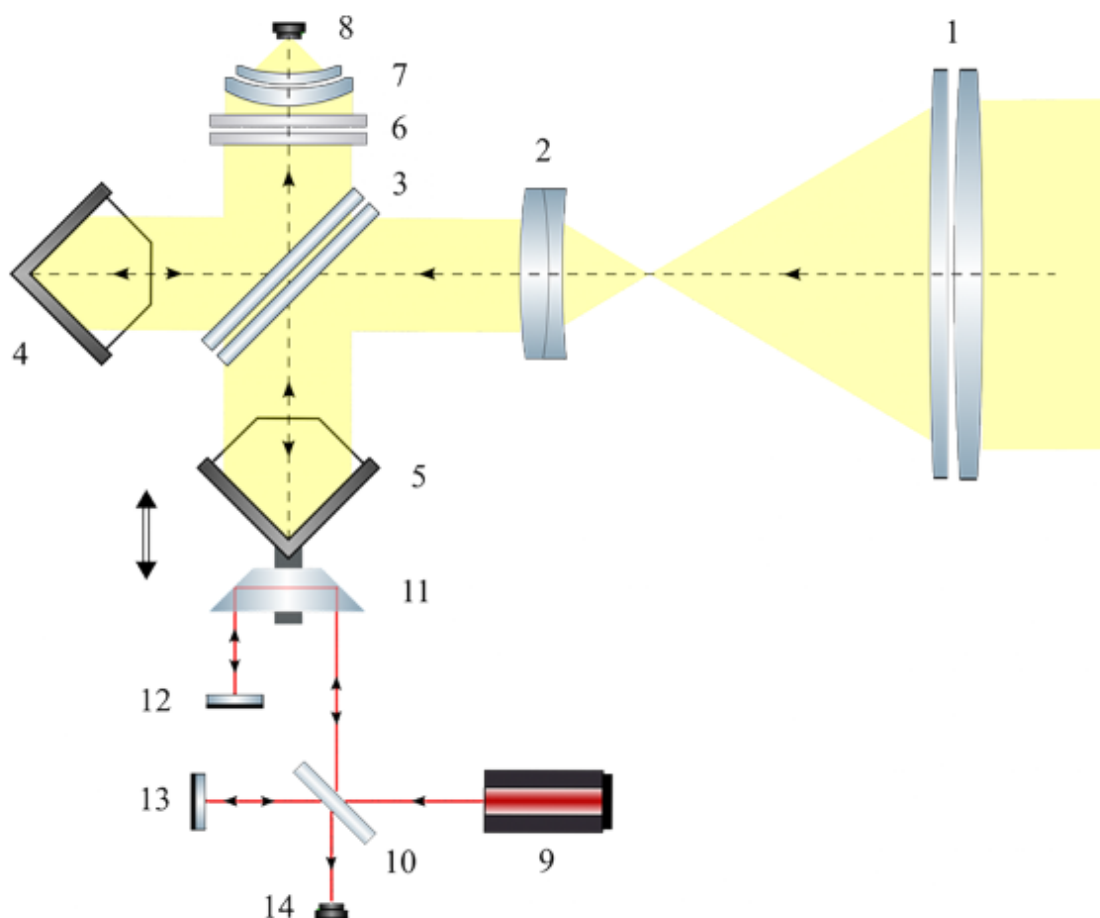
Целью данной работы является разработка средств и методов направленных на мониторинг динамики концентрации (CO<sub>2</sub>), метан (CH<sub>4</sub>).

Для решения данной задачи разработан макет динамического фурье-спектрометра (ДФС) [5–7], работающего в инфракрасном спектральном диапазоне длин волн от 1,0 до 1,7 мкм (10 000... 5 880 см<sup>-1</sup>). Выбор данного спектрального диапазона связан с наличием в нем колебательно-вращательных линий поглощения парниковых газов (см. таблицу) [8]. Линии поглощения CO<sub>2</sub> находятся в районе 1,6 мкм, линии CH<sub>4</sub> в области 1,66 мкм, а O<sub>2</sub> – на длине волны 1,27 мкм. Регистрации линии поглощения O<sub>2</sub> необходима для расчета абсолютной концентрации CO<sub>2</sub> и CH<sub>4</sub>, так как концентрация кислорода в атмосфере неизменна.

## Линии поглощения основных газов атмосферы в видимом — ближнем ИК-диапазоне

| Основные газы в атмосфере | Центральная длина волны, мкм       |
|---------------------------|------------------------------------|
| CO <sub>2</sub>           | 1,4, 1,6, 2,0, 2,7, 4,3            |
| O <sub>2</sub>            | 0,63, 0,69, 0,76, 1,06, 1,27, 1,58 |
| N <sub>2</sub> O          | 2,87, 4,06, 4,5                    |
| CH <sub>4</sub>           | 1,66, 2,2, 3,3                     |
| CO                        | 2,34, 4,67                         |

Оптическая схема разработанного макета представлена на рис. 1 [9, 10]. В приемном канале спектрометра, для обеспечения стабильности и надежности его работы, используются тетраэдрические отражатели [9] в качестве зеркал с апертурой 36 мм и отклонением 1 угл. с. Подвижный отражатель установлен на пружинном параллелограмме, который обеспечивает ход 4 мм в одну сторону. Ход подвижного зеркала позволяет регистрировать интерферограммы с количеством отсчетов 32 000, что определяет теоретическое спектральное разрешение  $2 \text{ см}^{-1}$ .



**Рис. 1.** Оптическая схема ДФС:

1, 2 — входной объектив; 3 — светоделитель; 4, 5 — уголковые отражатели; 6 — длинноволновые фильтры; 7 — фокусирующий объектив; 8 — приемник излучения основного канала; 9 — лазер 632 нм; 10 — светоделитель референтного канала; 11 — диэдр; 12, 13 — плоские зеркала; 14 — приемник референтного канала

В разработанном макете используется светофильтр, выполненный из материала K8 и предназначенный для видимой и инфракрасной областей спектра. Для отсекания излучения ниже 1 мкм перед приемником установлены длинноволновые фильтры.

Регистрация излучения осуществляется InGaAs-приемником с активной областью 2 мм и обнаружительной способностью  $D^* = 1,0 \cdot 10^{14}$  см· $\sqrt{\text{Гц}}/\text{Вт}$ .

Для стабилизации скорости движения зеркала и определения моментов считывания интерферограммы используется референтный канал с учетом разности оптического хода. В качестве опорного источника используется Не–Не-лазер с длиной волны 632 нм.

С применением созданного макета проводили эксперименты, направленные на регистрацию линий поглощения CO<sub>2</sub>. Эксперименты выполняли в городских условиях, недалеко от загруженных дорог. Прибор устанавливали под небольшим углом к горизонту, порядка 20°, по направлению неба. Измерения проводили в пассивном режиме по отраженному солнечному излучению.

Полученный на макете график спектрального коэффициента пропускания атмосферы изображен на рис. 2. По оси ординат отложен спектральный коэффициент пропускания  $T(\nu)$ , а по оси абсцисс – волновое число  $\nu$  (см<sup>-1</sup>). Спектр получен при усреднении по 15 интерферограммам с общим временем регистрации 1 мин. В экспериментальном спектре присутствуют линии поглощения кислорода O<sub>2</sub> на волновом числе 7880 см<sup>-1</sup>, CO<sub>2</sub> на волновых числах 6250 см<sup>-1</sup> и 6350 см<sup>-1</sup> и CH<sub>4</sub> на 6024 см<sup>-1</sup>. Положение линий поглощения соответствует приводимому в спектральной базе HITRAN [11].

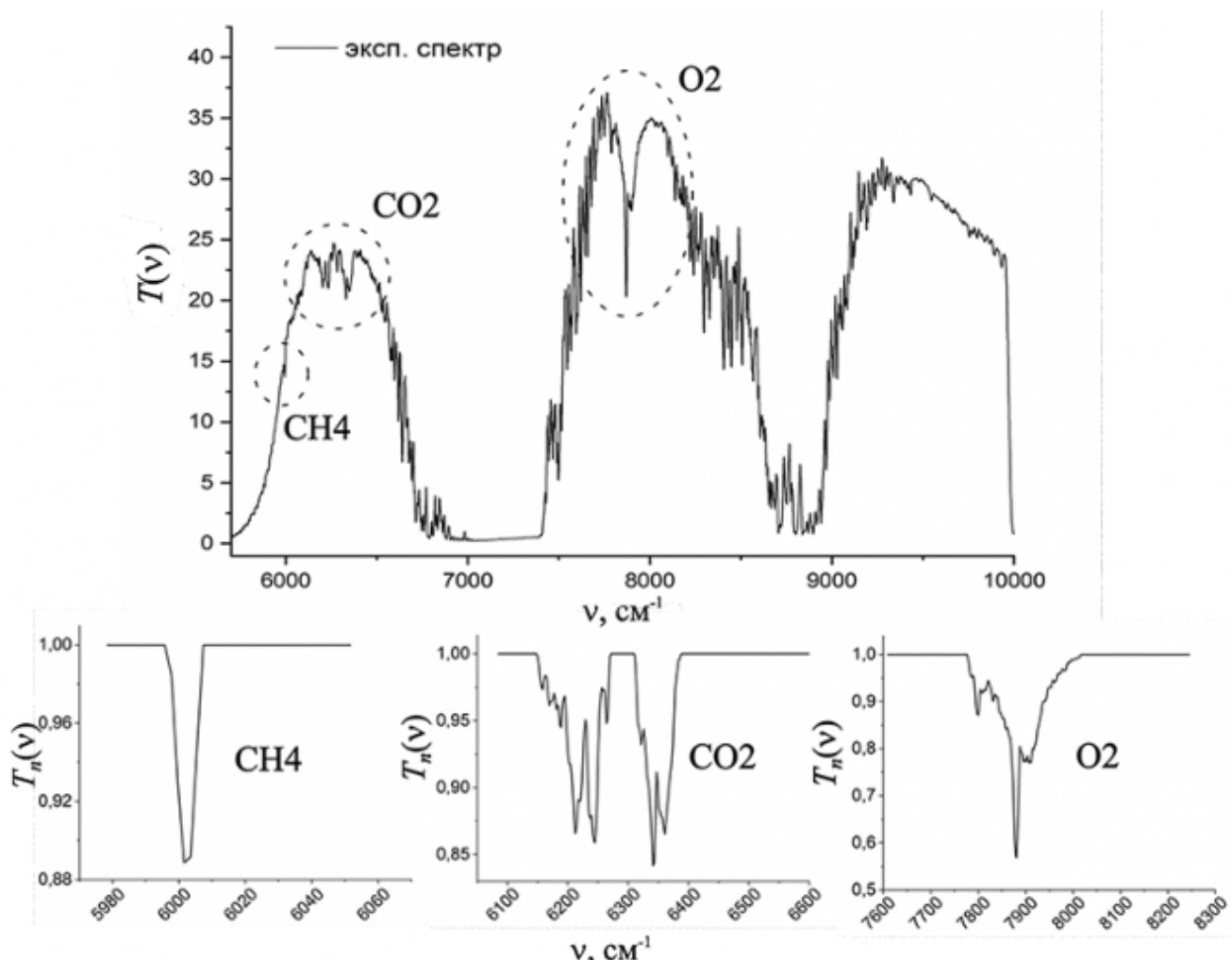


Рис. 2. Спектр поглощения атмосферы

Отношение сигнал/шум в спектре составляет 4110. Для наглядности отдельно показаны линии поглощения газов  $\text{CO}_2$ ,  $\text{CH}_4$  и  $\text{O}_2$ . Видно, что наблюдаемые линии поглощения сливаются и колебательно-вращательная структура не разрешена. Это связано с большим угловым полем входного телескопа равным  $4^\circ$ , что приводит к спектральному разрешению  $10 \text{ см}^{-1}$ .

С применением разработанного макета осуществляли долговременный мониторинг содержания  $\text{CO}_2$  и  $\text{CH}_4$  в атмосфере в течение 7 ч. Выполняли расчет как интегральной, так и объемной концентрации. Интегральные значения  $\text{CO}_2$  и  $\text{CH}_4$  рассчитывали по глубине линий поглощения в регистрируемом спектре. Объемную концентрацию  $\text{CO}_2$  и  $\text{CH}_4$  рассчитывали по их интегральным концентрациям с учетом нормировки на интенсивность линии поглощения  $\text{O}_2$ .

Графики объемных концентраций  $\text{CO}_2$ ,  $\text{CH}_4$  и  $\text{O}_2$  показаны на рис. 3.

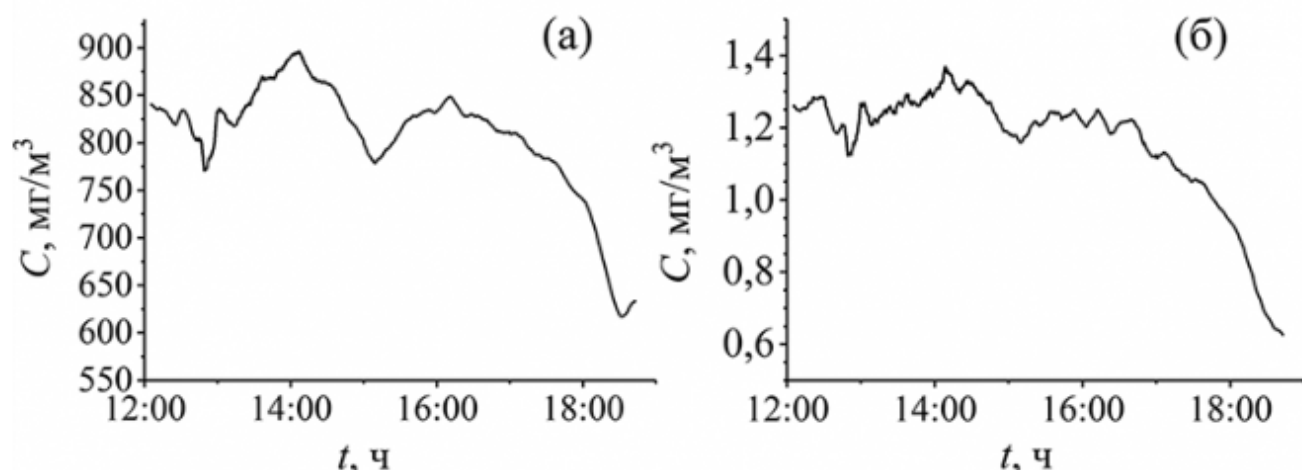


Рис. 3. Значения объемной концентрации  $\text{CO}_2$  (а) и  $\text{CH}_4$  (б)

Форма графика хорошо повторяет моменты загруженности на дорогах. В вечернее время уменьшение объемной концентрации связано с увеличением оптической трассы и захвата массы воздуха, находящейся за пределами Москвы.

*Работа выполнена в рамках реализации программы стратегического академического лидерства «Приоритет-2030», утвержденной постановлением Правительства Российской Федерации от 13 мая 2021 г. № 729.*

## Литература

- [1] Manisalidis I. et al. Environmental and health impacts of air pollution: A review. *Front Public Heal*, 2020, vol. 8, no. 14, pp. 1–13.
- [2] Галашев А.Е., Рахманова О.Р. Излучательная способность основных парниковых газов. *Химическая физика*, 2013, т. 32, № 6, с. 88–96.
- [3] Rahimpour M.R., Farsi M., Makarem M.A. (eds). *Advances in Carbon Capture*. Cambridge, Elsevier, 2020, 557 p.
- [4] Solomon S. et al. *Climate change 2007: The physical science basis*. Cambridge, 2007. 996 p.
- [5] Griffith D.W.T., Jamie I.M. Fourier transform infrared spectrometry in atmospheric and trace gas analysis. *Encyclopedia of Analytical Chemistry*, 2006. DOI: <https://doi.org/10.1002/9780470027318.a0710>

- [6] Морозов А.Н., Светличный С.И. Основы фурье-спектрорадиометрии. Москва, Наука, 2014, 456 с.
- [7] Винтайкин И.Б., Голяк И.С., Королев П.А., Морозов А.Н., Табалин С.Е., Тимашова Л.Н. Применение статического ИК-фурье-спектрометра для регистрации химических соединений в открытой атмосфере. Химическая физика, 2021, т. 40, № 5, с. 9.  
DOI: <https://doi.org/10.31857/S0207401X21050137>
- [8] Patadia F. et al. Correcting for trace gas absorption when retrieving aerosol optical depth from satellite observations of reflected shortwave radiation. *Atmos Meas Tech*, 2018, vol. 11, no. 6, pp. 3205–3219.
- [9] Балашов А.А., Вагин В.А., Голяк Ил.С., Морозов А.Н., Хорохорин А.И. Многоканальный динамический ик-фурье-спектрометр. Журнал прикладной спектроскопии, 2017, т. 84, № 4, с. 643–647.
- [10] Балашов А.А. и др. Регистрация спектров комбинационного рассеяния света с использованием динамического фурье-спектрометра. Журнал прикладной спектроскопии, 2018, т. 85, № 5, с. 822–829.